



BION, INŠTITUT ZA BIOELEKTROMAGNETIKO IN NOVO BIOLOGIJO, d.o.o.
BION, INSTITUTE FOR BIOELECTROMAGNETICS AND NEW BIOLOGY, Ltd.

Stegne 21, SI-1000 Ljubljana, Slovenia
t: +386 (0)1 513 11 46 f: +386 (0)1 513 11 47
e: info@bion.si i: www.bion.si

REZULTATI TESTIRANJA »BIOENERGIJSKEGA VPLIVA NINE VLADOS« ZA PRIDOBITEV CERTIFIKATA ZA BIOENERGETIKE

Naročnik testiranja:

Nina Vlados
Trg 1 A, 2391 Prevalje, Slovenija

Izvajalec testiranja:

Inštitut Bion, d.o.o.
Stegne 21, Ljubljana, Slovenija

julij 2008
Št.: 94/08

PREDMET, CILJI IN METODE TESTIRANJA

Nina Vlados, roj. 1.1.1966, je bila testirana dne 24.7.2008 po protokolu za znanstveno testiranje kakovosti bioenergijskega vpliva bioenergetikov, ki vključuje meritve z metodama EMADEL in Digitalna elektrofotografija.

DIGITALNA ELEKTROFOTOGRAFIJA

Digitalna elektrofotografija je znanstveno preverjena metoda, ki smo jo razvili na Inštitutu Bion, podrobnosti pa so predstavljene v znanstvenih prispevkih in člankih (npr. Berden, Jerman, Škarja: *Electro and Magnetobiology* Vol.16/3, 1997). Razvili smo predvsem sistem za elektrofotografsko slikanje vodnih kapljic oziroma korone, ki med periodično razelektritvijo nastane okrog vodne kapljice. Bistvo metode je v tem, da subtilna energijska in/ali elektromagnetna polja v vodi puščajo določen vtis, zaradi česar ima kapljica vode z vtisnjeno informacijo ob razelektritvi drugačen vzorec korone. Kot kontrolo uporabimo istoizvorno (načeloma destilirano) vodo, ki ni izpostavljena raziskovanemu vplivu.

Metoda digitalne elektrofotografije za preverjanje bioenergijskega vpliva posameznika vključuje tri stopnje. Najprej testirana oseba s posebnim postopkom vtiskuje informacijo svojega bioenergijskega potenciala v vodo. V drugi stopnji to vodo fotografiramo z digitalno elektrofotografijo. Nato dobljene slike računalniško analiziramo s standardnimi in lastnimi računalniškimi programi, pri čemer med seboj primerjamo vrsto svetlostnih in strukturnih parametrov, ki opisujejo značilnosti korone, to je njeno splošno svetlost, razporeditev, značilnosti razelektritvenih žarkov (streamerjev), ki jo sestavljajo jakost, širina, dolžina, kontrast, homogenost, ekscentričnost itd. Svetlostni parametri kažejo predvsem energijski vidik biopolja vode, strukturni parametri pa temeljne značilnosti njene informacijske vsebine. Za vsako kapljico dobimo tako več parametrov za primerjavo. Razlike v vrednosti parametrov med testirano vodo in kontrolno vodo ustrezno statistično obdelamo, ovrednotimo in nato povratno sklepamo o lastnostih bioenergijskega potenciala, ki ga vzpostavlja in izžareva testirana oseba.

Opis in rezultati testiranja

Pri testiranju z digitalno elektrofotografijo smo primerjali vodo, ki jo je obsevala Nina Vlados s kontrolno, istoizvorno neobsevano vodo.

V prvi stopnji je testirana oseba z dlanmi 20 min »obsevala« električno očiščeno destilirano vodo v steklenički. Z ustreznim postopkom je vtiskovala informacijo v vodo. Potenciranje z lesenim predmetom omogoča boljši vtis informacije v vodo na katero je udarjala z lesenim kladivcem. Kontrolna voda je bila enaka električno očiščena destilirana voda, ustrezno zaščitena pred vplivi testirane osebe in neobsevana. Obe vodi smo nato zaščitili pred zunanjimi vplivi z dvojnimi plastičnimi ovojem.

V drugi stopnji smo tako pripravljeno vodo takoj (24.7.2008) uporabili pri izvedbi fotografiranja z digitalno elektrofotografijo. Da smo preverili ali se vtisnjena informacija v vodi ohrani in kako se kvalitativno ter kvantitativno spremeni, smo po štirih dneh (28.7.2008) fotografiranje istih vzorcev vode z digitalno elektrofotografijo ponovno izvedli. Za vsak vzorec smo opravili 30 slikanj kapljic vode ter dobili 60 slik. V celotnem testu smo tako opravili 120 slikanj vodnih kapljic. Dobljene slike smo nato računalniško obdelali ter rezultate analizirali in ustrezno ovrednotili.

Rezultati z dne 24.7.2008 pokažejo takojšen vpliv energijskega potenciala Nine Vlados na vodo, rezultati z dne 28.7.2008 pa dolgotrajnejši vpliv.

Spodnji grafi prikazujejo razlike med vodama. Grafi 1a,b in 2a,b prikazujeta razlike pri svetlostnih, grafi 3a,b in 4a,b pa pri strukturnih parametrih.

Grafi 1a,b in 3a,b prikazujejo razliko glede na število izidov »večja/manjša vrednost parametra« med vodama pri različnih parametrih. Grafi 2a,b in 4a,b prikazujejo normirane razlike (s standardno napako) med primerjanima vodama pri različnih parametrih. Z rdečimi pikami so označeni izidi, kjer je razlika pozitivna (vrednost parametra je pri prvi vodi v paru večja kot pri drugi), z modrimi pa, ko je negativna (vrednost parametra je pri prvi vodi v paru manjša kot pri drugi). Označena (z vijolično barvo) je tudi približna meja (1,5), nad katero posamezna razlika postaja signifikantna.

Večja razlika pri posameznem parametru se vidi kot večji razmik med modro in rdečo črto, kar pomeni večjo razliko med posameznima vzorcema (kateri vzorec predstavlja posamezna črta glej legendo). Če je rdeča črta bolj proti obodu, to pomeni v povprečju višjo vrednost ustreznega parametra pri tem vzorcu in obratno.

Iz grafa 1a so razvidne razlike pri svetlostnih parametrih slikanih kapljic vod na dan obsevanja. Obsevana voda izkazuje izrazito manjšo ekscentričnost kaplje in večji radij. Te razlike so statistično značilne, ker so zunaj oboda, ki ga določa vijolična črta, kar prikazuje graf 2a. Graf 3a prikazuje razlike pri strukturnih parametrih na dan obsevanja. Pri obsevani vodi se kaže večja žarkovna homogenost, ki pa ni statistično značilna (graf 4a). Statistično značilna je razlika v žarkovni širini in sicer je manjša pri obsevani vodi v primerjavi s kontrolo (graf 4a).

Iz navedenega sklepamo, da je biopolje obsevane vode bistveno bolj urejeno ter hkrati bolj umireno in deluje v smislu večje stabilnosti.

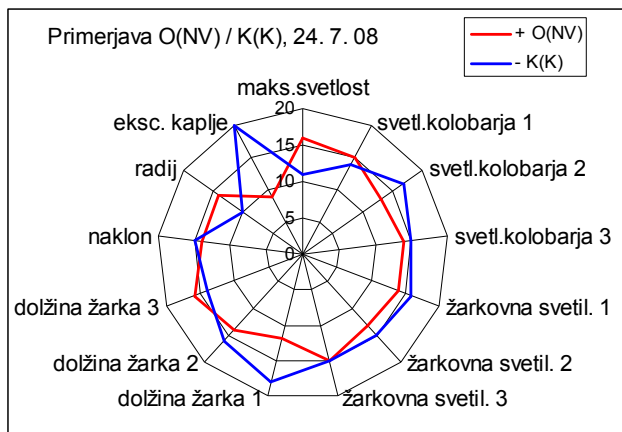
Iz grafa 1b so razvidne razlike pri svetlostnih parametrih slikanih kapljic vod čez 4 dni (28.7.2008). Obsevana voda še vedno izkazuje manjšo ekscentričnost kaplje, ki pa ni statistično značilna, kar je razvidno z grafa 2b. Hkrati pa se je opazno povečala luminoznosti obsevane vode in sicer svetlost kolobarja 3 in žarkovna svetilnost 1,2 ter dolžina žarka 1 (graf 1b). Od teh razlik je statistično značilna žarkovna svetilnost 2, ki je na vijolični črti, kar prikazuje graf 2b. Graf 3b prikazuje razlike pri strukturnih parametrih slikanih kapljic vod čez 4 dni. Pri obsevani vodi so se v primerjavi s kontrolo opazno zmanjšale žarkovna širina 2,3, skupna žarkovna širina 3, žarkovna homogenost 1,2,3 pa se je povečala. Od teh so statistično značilne razlike pri žarkovni širini in skupni žarkovni širini (graf 4b). Tudi to govori o postopno večji energizaciji vode po obsevanju, saj postanejo žarki bolj izraziti, fokusirani.

Iz rezultatov fotografiranja kapljic vode po štirih dneh obsevanja je razvidna visoka stopnja ohranitve informacije (je stabilna). Obsevana voda se je energijsko okrepila. Struktura polja se je ohranila, njegova urejenost pa se je celo povečala. Kaže, da je pomirjevalni učinek takojšnjega obsevanja stopil malo v ozadje, čeprav je še vedno razviden, v ospredje pa je stopil dolgotrajnejši energizirajoč učinek bioenergijskega potenciala Nine Vlados.

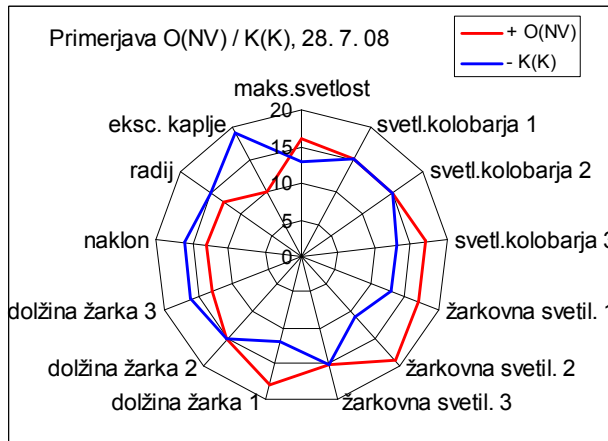
Grafi 1a,b do 4a,b: Pri grafih 1a,b in 3a,b gre za razliko glede na število izidov »večja/manjša vrednost parametra« med vodama pri različnih parametrih, pri grafih 2a,b in 4a,b pa za normirane razlike (s standardno napako) med primerjanima vodama pri različnih parametrih

O(NV) = obsevana voda (Nina Vlados); K(K) = kontrolna voda

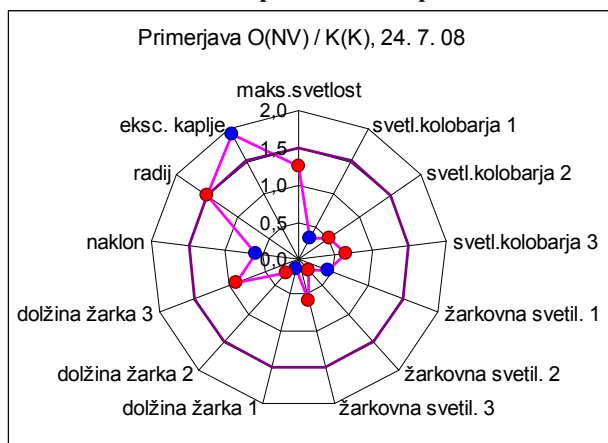
Graf 1a. Razlike pri svetlostnih parametrih



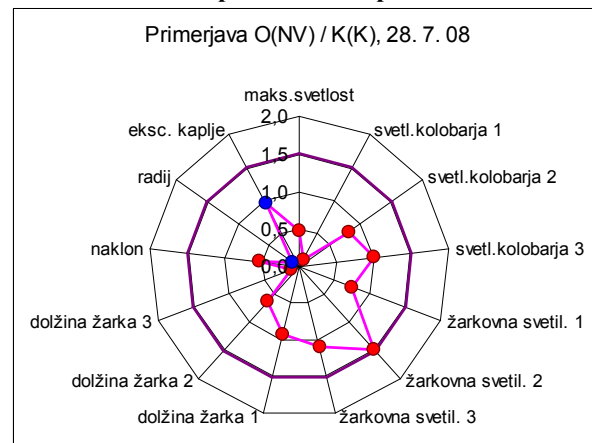
Graf 1b. Razlike pri svetlostnih parametrih



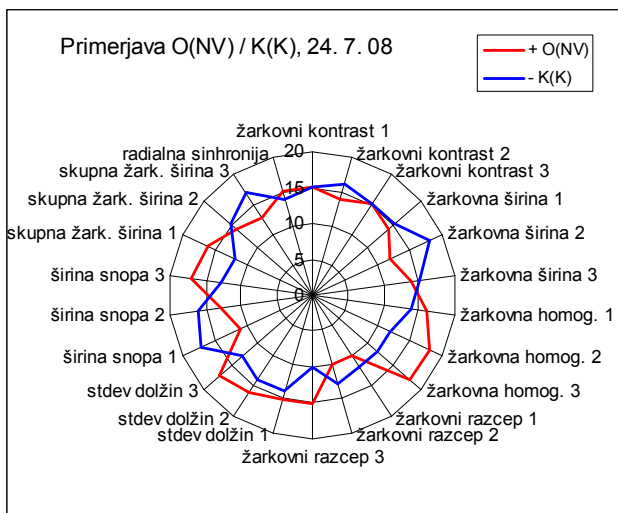
Graf 2a. Razlike pri svetlostnih parametrih



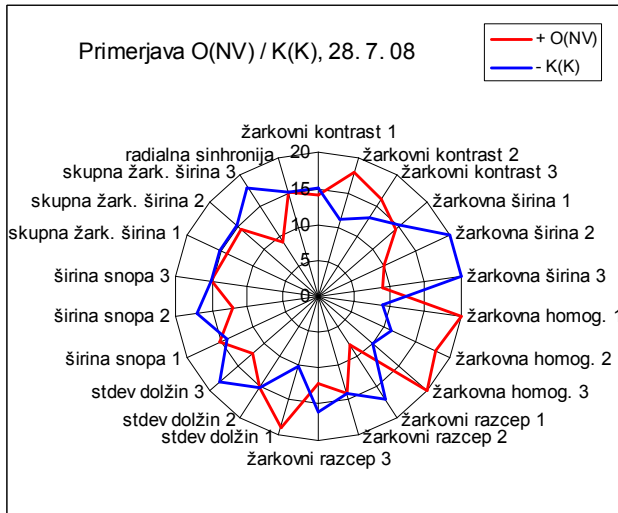
Graf 2b. Razlike pri svetlostnih parametrih



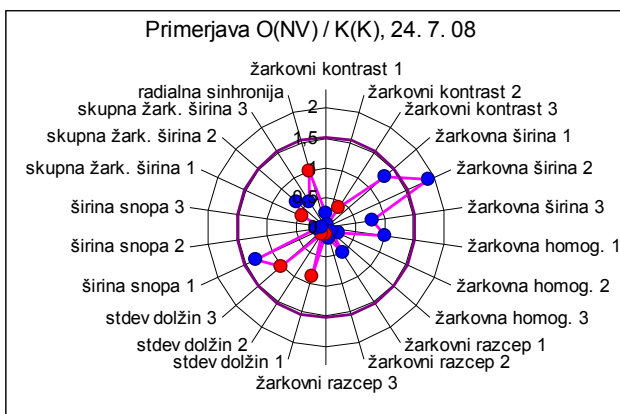
Graf 3a. Razlike pri strukturnih parametrih



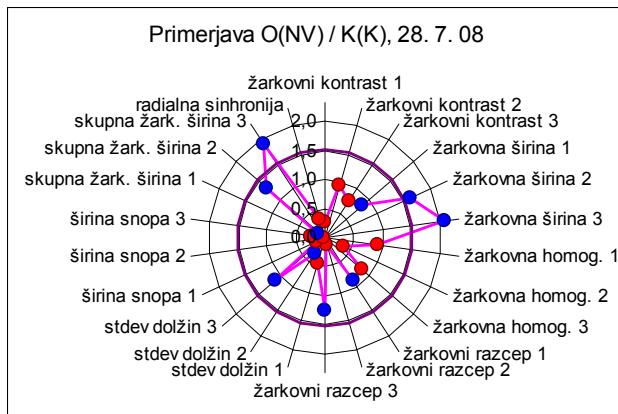
Graf 3a. Razlike pri strukturnih parametrih



Graf 4a. Razlike pri strukturnih parametrih



Graf 4a. Razlike pri strukturnih parametrih



MERITVE BIOPOLJA Z METODO EMADEL

Elektronski merilec - EMADEL deluje na principu sklopitve med bližnjimi elektromagnetnimi polji in biopoljem organizma ter na njihovem medsebojnem vplivanju (glej: http://www.bion.si/Nove_strani/Emadel.htm).

Z metodo Emadel opravljamo več testov za preverjanje bienergijskega vpliva posameznika in sicer:

1. test - sposobnost ravnanja z lastno bioenergijo (kontroliranje izseva)
2. test - vpliv bioenergetikovega nestičnega delovanja na človeka
3. test - vpliv bioenergetikovega stičnega delovanja na človeka

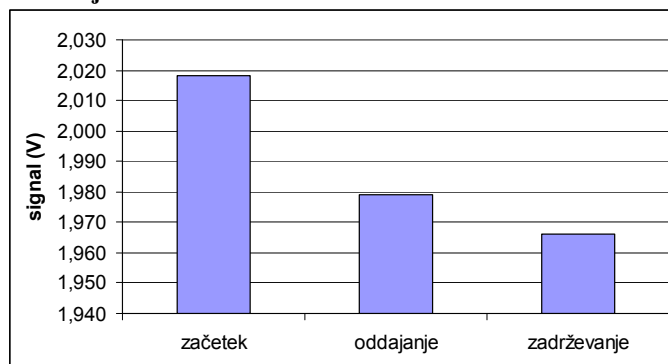
Učinke bioenergijskega vpliva bioenergetika oz. spremembe v biopolju pacienta ter bioenergetika opazujemo s kontaktnimi (stična) merjenji, ki kažejo dogajanje v telesu (senzorji se telesa dotikajo) in z bližinskimi merjenji ob telesu (senzorji se telesa ne dotikajo in tako merijo biopolje v človekovem neposrednem okolju).

Opis in rezultati testiranja

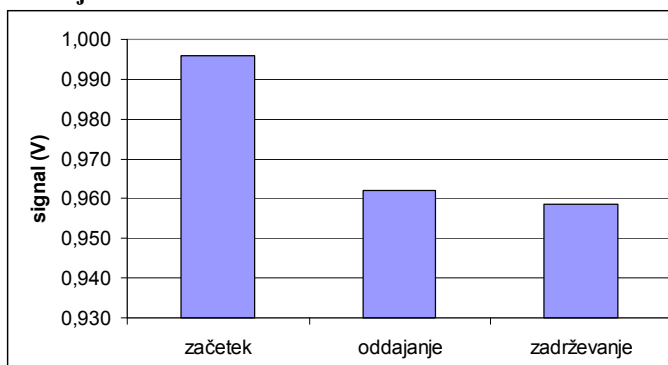
1. test - sposobnost ravnanja z lastno bioenergijo (kontroliranje izseva)

Rezultati so pokazali, da se je signal v primerjavi z začetnim stanjem po postopku oddajanja znižal, v fazi zadrževanja pa še bolj znižal (graf 5a,b). Večje znižanje signala je opaziti pri kontaktni meritvi (polje v telesu) v času zadrževanja energije. Polje ob telesu pa je ostalo na enaki ravni (bližinski senzor) v času oddajanja in zadrževanja energije.

Graf 5a. Rezultati meritev sprememb biopolja testirane osebe (Nina Vlados) s kontroliranjem izseva – povprečni rezultati meritev **kontaktnih senzorjev.**



Graf 5b. Rezultati meritev sprememb biopolja testirane osebe (Nina Vlados) s kontroliranjem izseva – povprečni rezultati meritev **bližinskih senzorjev.**



2. test - vpliv bioenergetikovega nestičnega delovanja na človeka

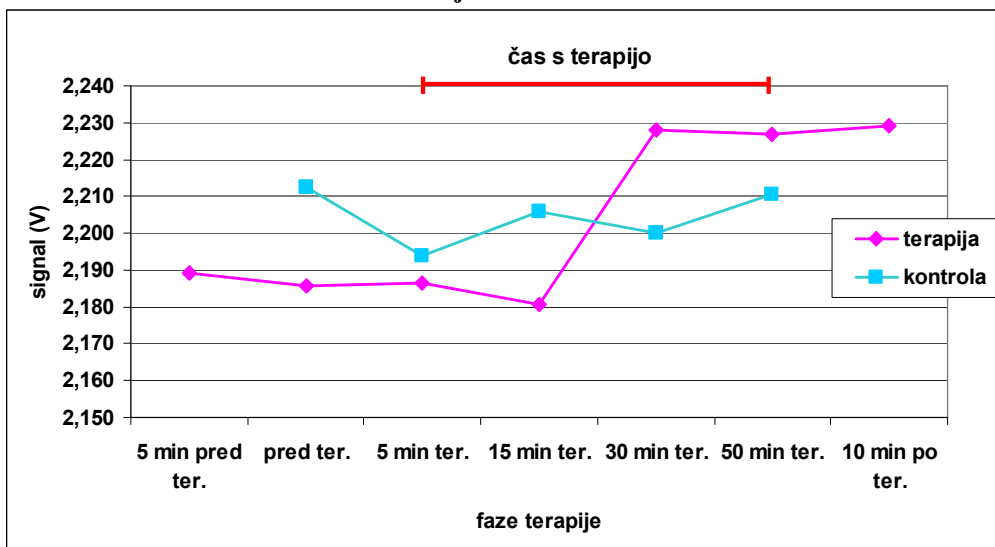
V tem testu bioenergetik izvaja terapijo na svojih pacientih na način in v času trajanja tako kot njemu ustreza. Med meritvijo biopolja se vse osebe umaknejo in se meri samo eno osebo.

V tem testiranju sta sodelovali dve pacientki, oznaki zanju sta Pacientka št. 1 in Pacientka št. . Meritve sprememb biopolja smo izvedli pred začetkom terapije, med terapijo in po njej in sicer tako pri pacientkah kot bioenergetičarki sami. Poleg tega smo med izvajanjem terapije na eni pacientki merili tudi stanje druge pacientke. To merjenje je služilo kot kontrola.

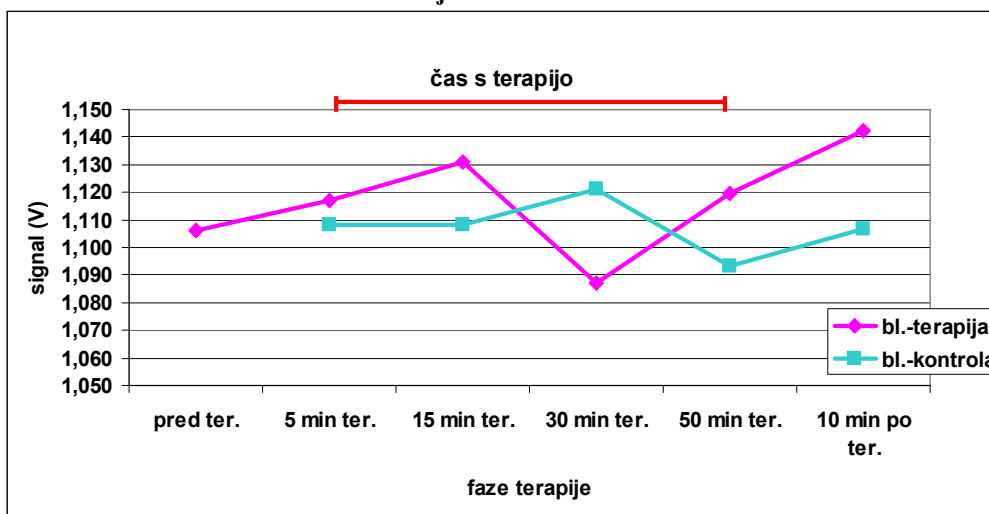
Rezultati terapije na Pacientki št. 1

Rezultati so pokazali, da med 15 in 30 min terapije pride do izrazitega dviga signala na kontaktnih senzorjih pri obeh pacientkah, dvig je najbolj opazen pri pacientki št. 1 pri meritvah na vseh kontaktnih senzorjih, ki kažejo stanje biopolja v telesu, medtem ko bližinske meritve pokažejo, da signal po tem času upade, nato pa spet naraste. Bližinske meritve pokažejo stanje zunaj telesa, a v njegovi bližini. Rezultati kontaktnih senzorjev pacientke št. 1 pomenijo, da je bilo biopolje telesa najprej šibko in je po 15 min terapije hipno naraslo in pretežno ostalo na tem nivoju, kar pomeni, da se je notranje biopolje izrazito okrepilo (graf 6a). V času, ko se notranje biopolje krepi, ne seva navzven, ko pa se okrepi do določene meje, pride do sevanja navzven in ta dvig zaznamo z meritvami kot dvig signala na bližinskem senzorju (graf 6b). Pri bližinskih senzorjih zaznamo porast signala do 15 min, ko je vrh, nato pa izrazit padec, kar pomeni, da se je biopolje v tem času zaprlo navzven, po 30 min pa se začne signal postopoma dvigovati (graf 6b). Predvsem rezultati bližinskih meritev na senzorjih K2 (graf 6c) in K3 kažejo proti koncu terapije porast signala, kar kaže na to, da se je bioenergija telesa v splošnem okrepila. Potek je v skladu z opisom bioenergetičarke, ki navaja, da najprej čisti blokade, potem pa dovaja energijo.

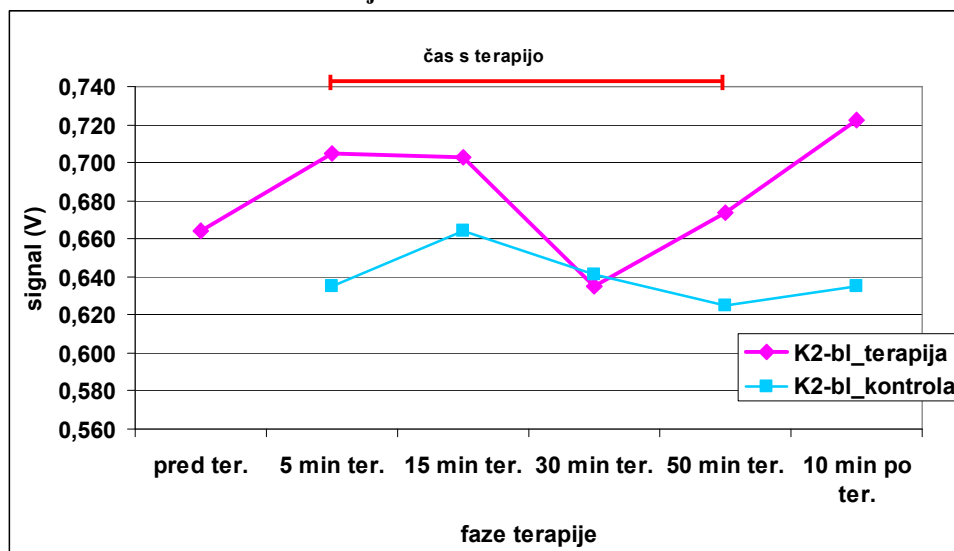
Graf 6a. Rezultati meritev sprememb biopolja pacientke št. 1, na kateri je bioenergetičarka izvajala terapijo – povprečni rezultati **kontaktnih** meritev na vseh senzorjih.



Graf 6b. Rezultati meritev sprememb biopolja pacientke št. 1, na kateri je bioenergetičarka izvajala terapijo – povprečni rezultati **bližinskih** meritev na vseh senzorjih.



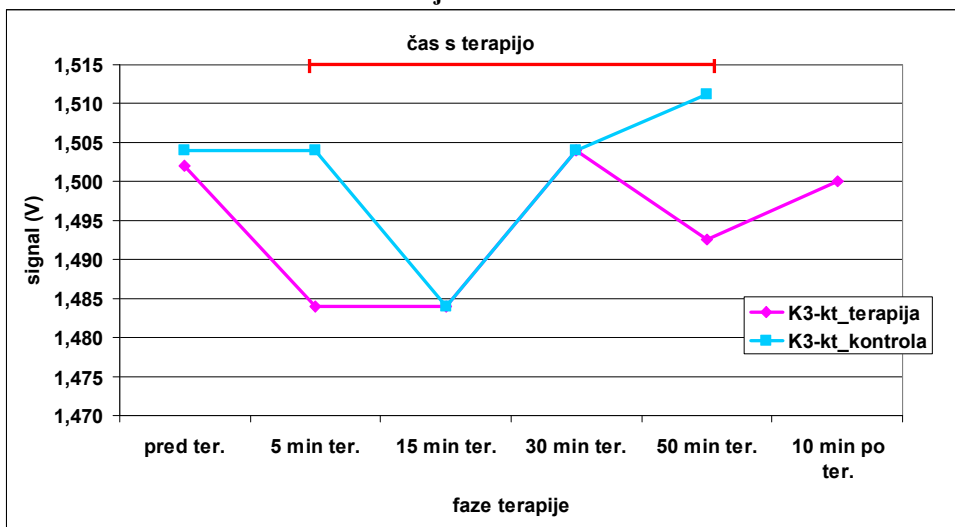
Graf 6c. Rezultati meritev sprememb biopolja pacientke št. 1, na kateri je bioenergetičarka izvajala terapijo – povprečni rezultati **bližinskih** meritev na senzorju K2.



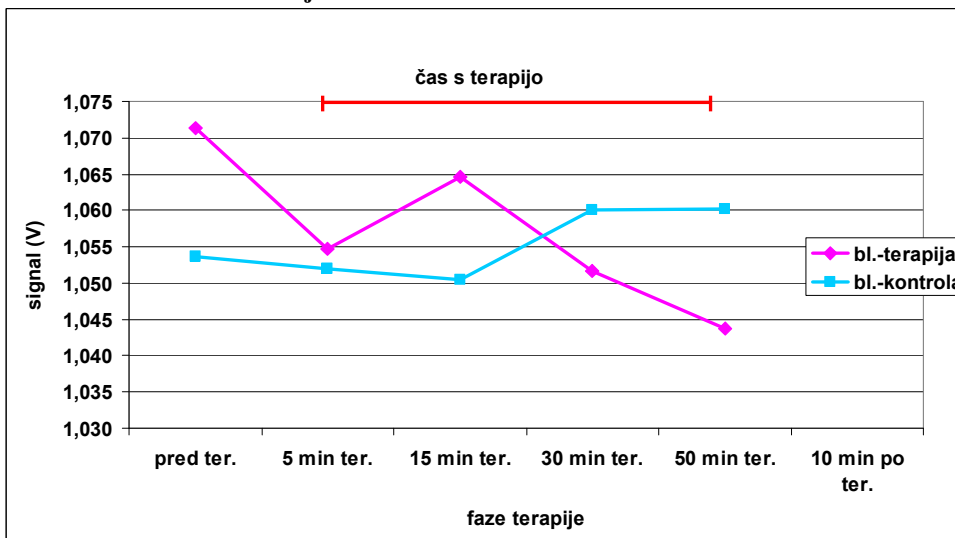
Rezultati terapije na Pacientki št. 2

Pri drugi pacientki je iz rezultatov meritev na kontaktnem senzorju učinek težje ločiti od kontrole. Pri obeh pacientkah je prišlo med 15 in 30 min terapije do izrazitega dviga signala, nato pa je pri pacientki št. 2 signal padel in se po koncu terapije spet dvignil (graf 7a). Pri bližinskih senzorjih zaznamo dvig signala do 15 min terapije in nato spuščanje (graf 7b), kar kaže na to, da se je v določeni fazi terapije biopolje zaprlo navzven in ostalo zaprto, da se je lahko navznoter okrepilo, kar je vidno na kontaktnem senzorju kot dvig signala proti koncu terapije (graf 7a). Na grafu 7c opazimo izrazit dvig signala na vrh pri 15 min na K2 bližinskem senzorju, ki opredeljuje prodornost energije v biopolju. Pri kontroli ni bilo zaznani takšnih dvigov in spustov signala ali pa ima drugačen potek, odvisno od tipa senzorja.

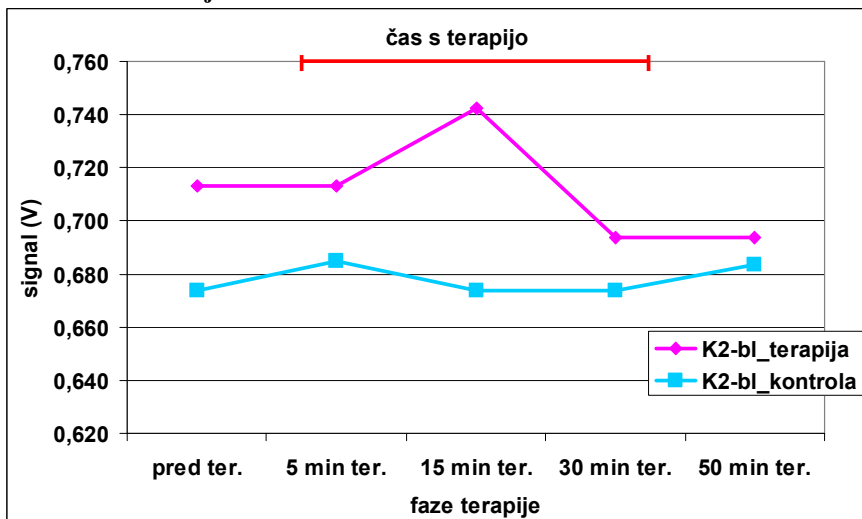
Graf 7a. Rezultati meritev sprememb biopolja pacientke št. 2, na kateri je bioenergetičarka izvajala terapijo – povprečni rezultati **kontaktnih** meritev na vseh senzorjih.



Graf 7b. Rezultati meritev sprememb biopolja pacientke št. 2, na katerem bioenergetik izvaja terapijo – povprečni rezultati **bližinskih** meritev na vseh senzorjih.



Graf 7c. Rezultati meritev sprememb biopolja pacientke št. 2, na katerem bioenergetik izvaja terapijo – povprečni rezultati **bližinskih** meritev na senzorju K2.

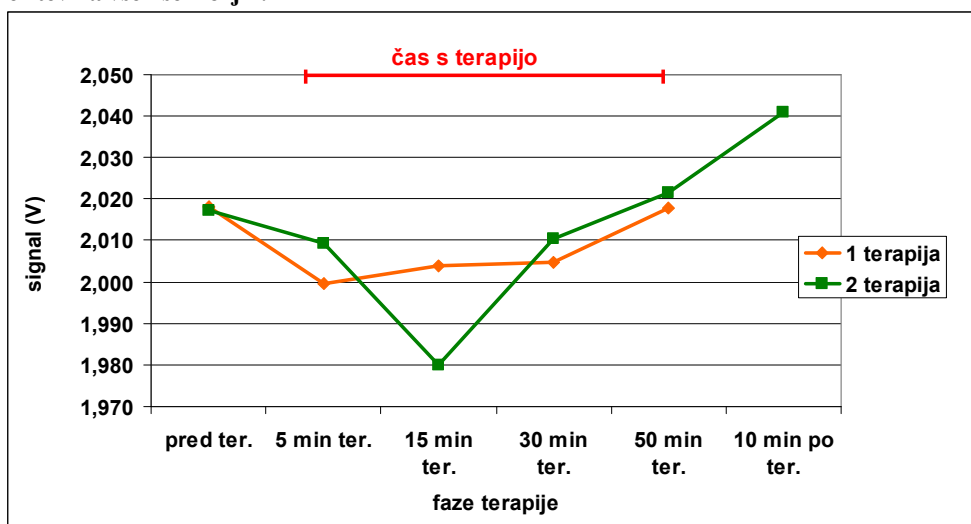


Rezultati meritev bioenergetičarke med izvajanjem terapij

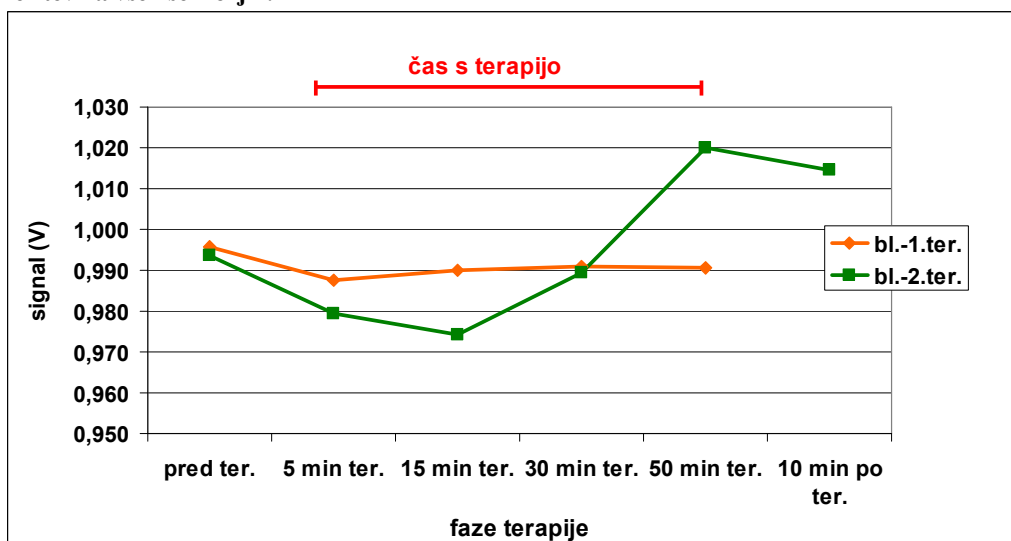
Rezultati meritev bioenergetičarke med samim izvajanjem terapij kažejo, da je bil signal na kontaktnih senzorjih med prvo terapijo večinoma stabilen in nekoliko višji ob koncu terapije, med drugo pa je do 15 min izrazito padel, se nato izrazito dvignil do 30 min terapije in se nato postopoma še dvigoval do konca terapije ter po njenem koncu, kar kaže na to, da se je njeno notranje biopolje po 15 min terapije ves čas krepilo (graf 8a). Pri bližinskih meritvah pa se je proti koncu druge terapije signal začel nižati, kar kaže na to, da oddajanje navzven ni bilo več potrebno in je energija ostajala v notranjem biopolju (graf 8b). Razvidno je, da je bioenergetičarka v določenem trenutku oddala veliko energije, kar pa je proti koncu terapije ponovno nadoknadila.

Rezultati tako kažejo, da v prvi polovici terapij lastno biopolje bioenergetičarke bodisi stabilno ali rahlo pada, potem pa se v slednjem primeru ponovno okrepi.

Graf 8a. Rezultati meritev sprememb biopolja bioenergetičarke med izvajanjem obeh terapij – povprečni rezultati kontaktnih meritev na vseh senzorjih.



Graf 8b. Rezultati meritev sprememb biopolja bioenergetičarke med izvajanjem obeh terapij – povprečni rezultati bližinskih meritev na vseh senzorjih.

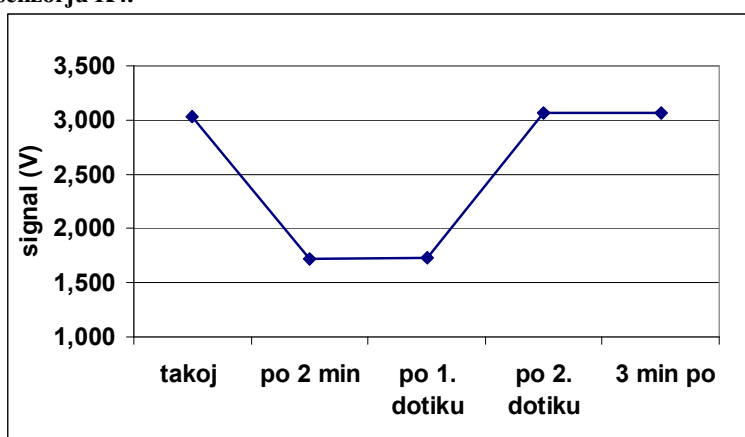


3. test - vpliv stičnega delovanja bioenergetičarke na človeka

V tem testiranju izmerimo stični vpliv bioenergetika na poljubno izbranega prostovoljca. Meritve smo izvedli tako, da smo najprej izvedli kontrolno merjenje in sicer smo izmerili začetno stanje prostovoljca (takoj in po 2 min), nato je bioenergetičarka prijela ramena prostovoljca in jih držala 2 minuti, se umaknila in izvedli smo prvo merjenje po 1. dotiku. Nato je postopek ponovila in izvedli smo drugo merjenje po 2. dotiku. Prostovoljec je nato samo mirno sedel in po 3 minutah smo izvedli še eno kontrolno meritev.

Rezultati kontaktnih meritev na senzorju K4 so pokazali, da se je prostovoljcu signal sam od sebe znižal po 2 minutah, kar glede na izkušnje pripisujemo relaksaciji ob sedenju in se po 1. dotiku ni spremenil, pač pa se je dvignil po 2. dotiku in ostal visok (graf 9). Ta senzor kaže dogajanje telesa na bližnji površini. Rezultati na nekaterih bližinskih senzorjih, ki kažejo dogajanje zunaj telesa, so pokazali obraten učinek, medtem ko senzor, ki meri dogajanje povsem znotraj telesa (K3) ni pokazal sprememb. Rezultati tako kažejo na učinek z zamikom, ki pa se odraža predvsem na bližnjem biopolju človeka.

Graf 9. Rezultati meritev sprememb biopolja prostovoljca po bioenergetičarkinem dotiku – povprečni rezultati kontaktnih meritev na senzorju K4.



INTERPRETACIJA IN ZAKLJUČEK

Rezultati digitalne elektrofotografije so pokazali, da je polje obsevane vode bistveno bolj urejeno in nekoliko bolj umirjeno glede na kontrolno vodo ter deluje predvsem v smislu stabilnosti. Po 4 dneh je bila informacija še vedno ohranjena v obsevani vodi (je stabilna), ki se je energijsko okrepila. Ohranila se je struktura polja, njegova urejenost pa se je celo povečala. Kaže, da je pomirjevalni učinek takojšnjega obsevanja stopil malo v ozadje, čeprav je še vedno razviden, v ospredje pa je stopil dolgotrajnejši energizirajoč učinek bioenergijskega potenciala Nine Vlados.

Testiranje z metodo EMADDEL je v prvem testu pokazalo, da je bioenergetičarka vplivala na izsevanje lastne energije biopolja ter tako uspela znižati jakost signala glede na začetno stanje, čeprav naj bi se nabijala. Ob zahtevanem energetskem izpraznjenju so se vrednosti na senzorjih dejansko še bolj znižale. S tem je pokazala določen zavesten vpliv na bioplje, vendar ne v celoti in glede na zahteve.

V drugem testu, kjer merimo vpliv na paciente, se je pokazala izrazita sprememba signala po 15 in 30 minutah terapije pri obeh pacientkah in hkrati tudi pri bioenergetičarki. V času, ko se notranje biopolje krepi, ne seva navzven, ko pa se okrepi do določenega nivoja, znova zaznamo signal zunanje emanacije. Pri bližinskih senzorjih zaznamo porast in vrh signala po 15 minutah terapije, nato pa izrazit padec, kar pomeni, da se je biopolje v tem času zaprlo navzven v skladu s potrebami posamezne terapije. V celoti gledano se je biopolje telesa tekom terapije okrepilo pri obeh pacientkah. Merjenje lastne energije bioenergetičarke v telesu (t.j. kontaktni senzorji) med izvajanjem terapij kaže pri prvi terapiji relativno stabilnost, med drugo terapijo pa zniževanje signala do 15 minut, nato pa dvigovanje, pri obeh terapijah proti koncu signal kontaktne meritve naraste. Razvidno je, da je bioenergetičarka v določenem trenutku druge terapije oddala veliko energije, kar pa je proti koncu ponovno nadoknadila.

Rezultati vpliva učinka dotika bioenergetičarke na prostovoljca kažejo na vpliv s časovnim zamikom, ki še po 3 minutah ostane na ravni, ki jo je imel pred začetkom testiranja.

Obe metodi sta pokazali določeno kakovost in dinamiko biopolja Nine Vlados, ko deluje na pacienta in na naključno izbrano osebo. Pri elektrofotografiji je predvsem pomembna kakovost umirjanja in dolgoročne stabilnosti (informacijski vtis v vodi ponavadi izgine že po 3 dneh), pri Emadelu pa izstopa dinamično bogat vpliv na paciente in spodbujevalno delovanje na naključno osebo.

TOČKOVANJE ZA CERTIFIKAT

Doseženo število točk glede na metodo testiranja:

	Št. doseženih točk	Št. možnih točk
EMADEL		
Sposobnost ravnanja z lastno bioenergijo (kontroliranje izseva)	1	2
Vpliv bioenergetikovega nestičnega delovanja na človeka (terapija)	8	8
Vpliv bioenergetikovega stičnega delovanja na človeka	2	2
Digitalna elektrografija		
Vpliv na parametre in stabilnost	9	10
	Vsota točk	
	20	22
	Dosežen %	Možen %
	91 %	100 %

Glede na spodnje kriterije, dosežena ocena (91 % možne ocene) uvršča kakovost bioenergijskega vpliva Nina Vlados v certifikatni razred I.

Kriteriji:

Certifikat razreda I	se podeli ob doseženih 90 % možne ocene.
Certifikat razreda II	se podeli ob doseženih 75 % možne ocene.
Certifikat razreda III	se podeli ob doseženih 60 % možne ocene.

»Nina Vlados« prejme
CERTIFIKAT ZA BIOENERGETIKE razred I